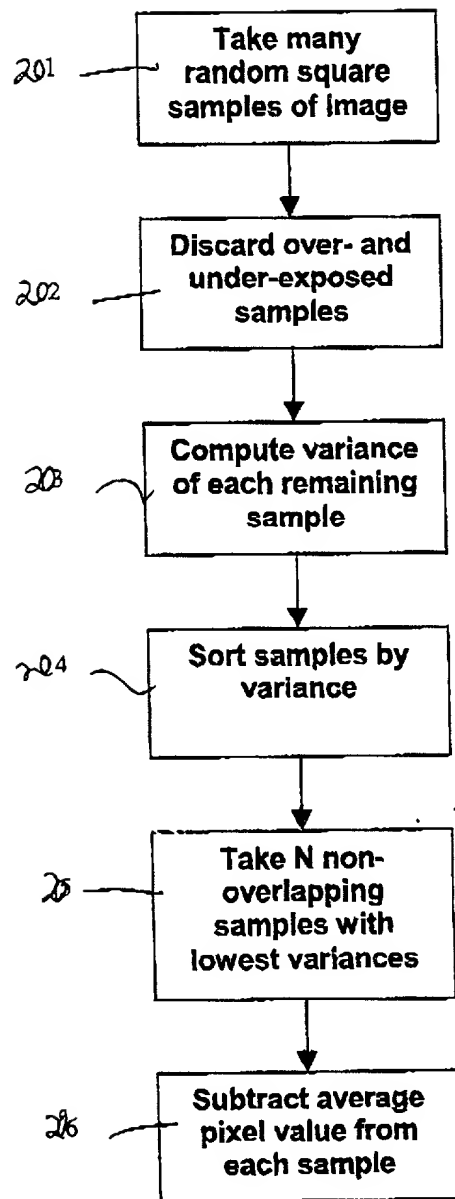


**Fig. 1**



**Fig. 2**

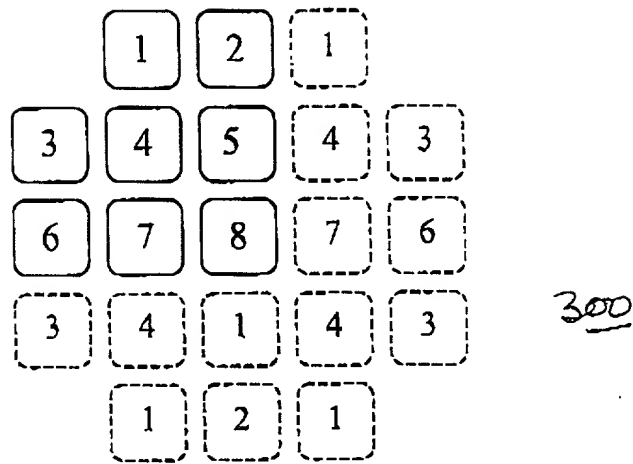


Fig. 3

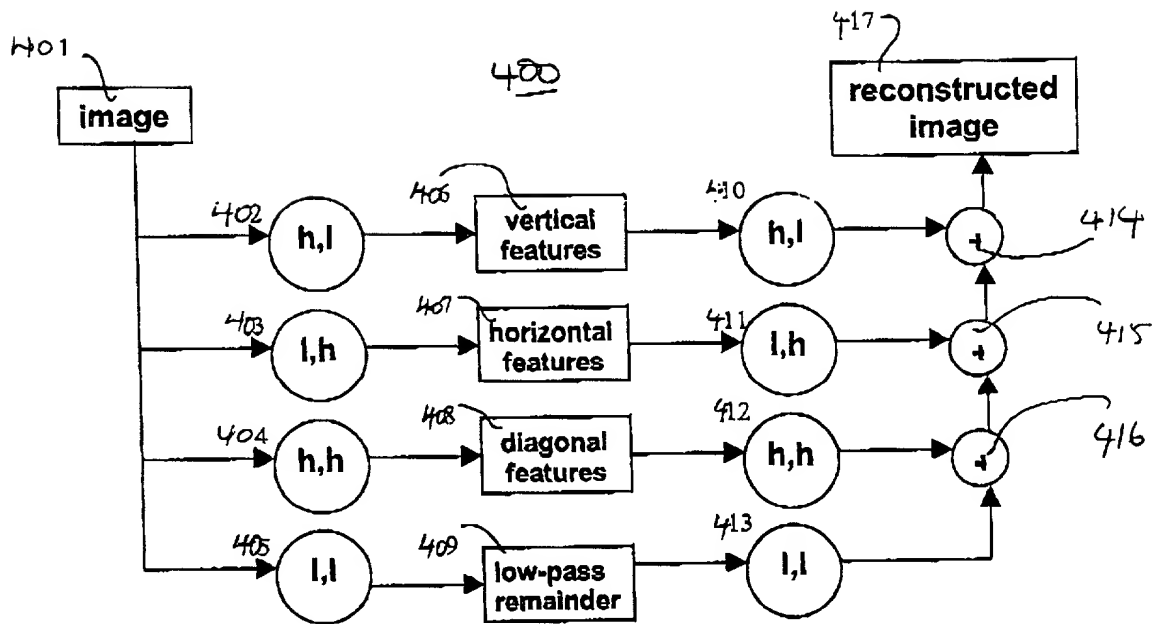


Fig. 4

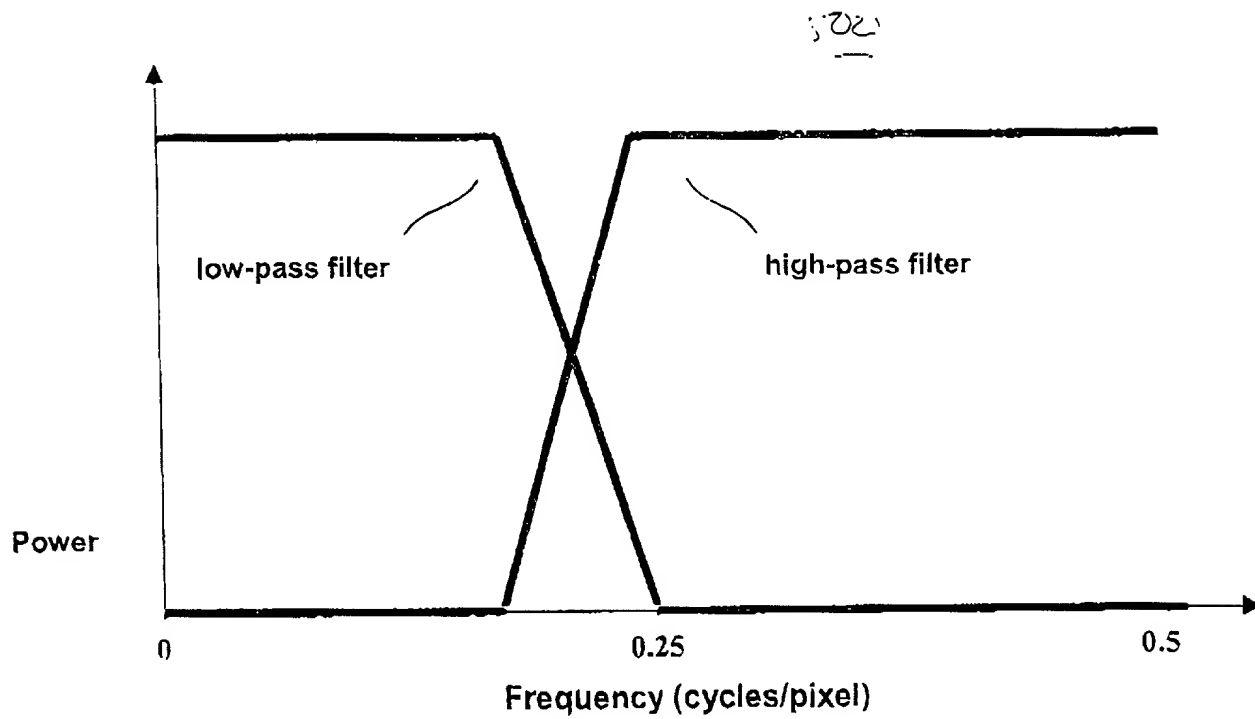


Fig. 5

Low-Pass	High-Pass
-0.03271	-0.01386
-0.01241	-0.05609
0.11169	-0.12523
0.26224	-0.19354
0.34206	0.77743
0.26224	-0.19354
0.11169	-0.12523
-0.01241	-0.05609
-0.03271	-0.01386

**Fig. 6**

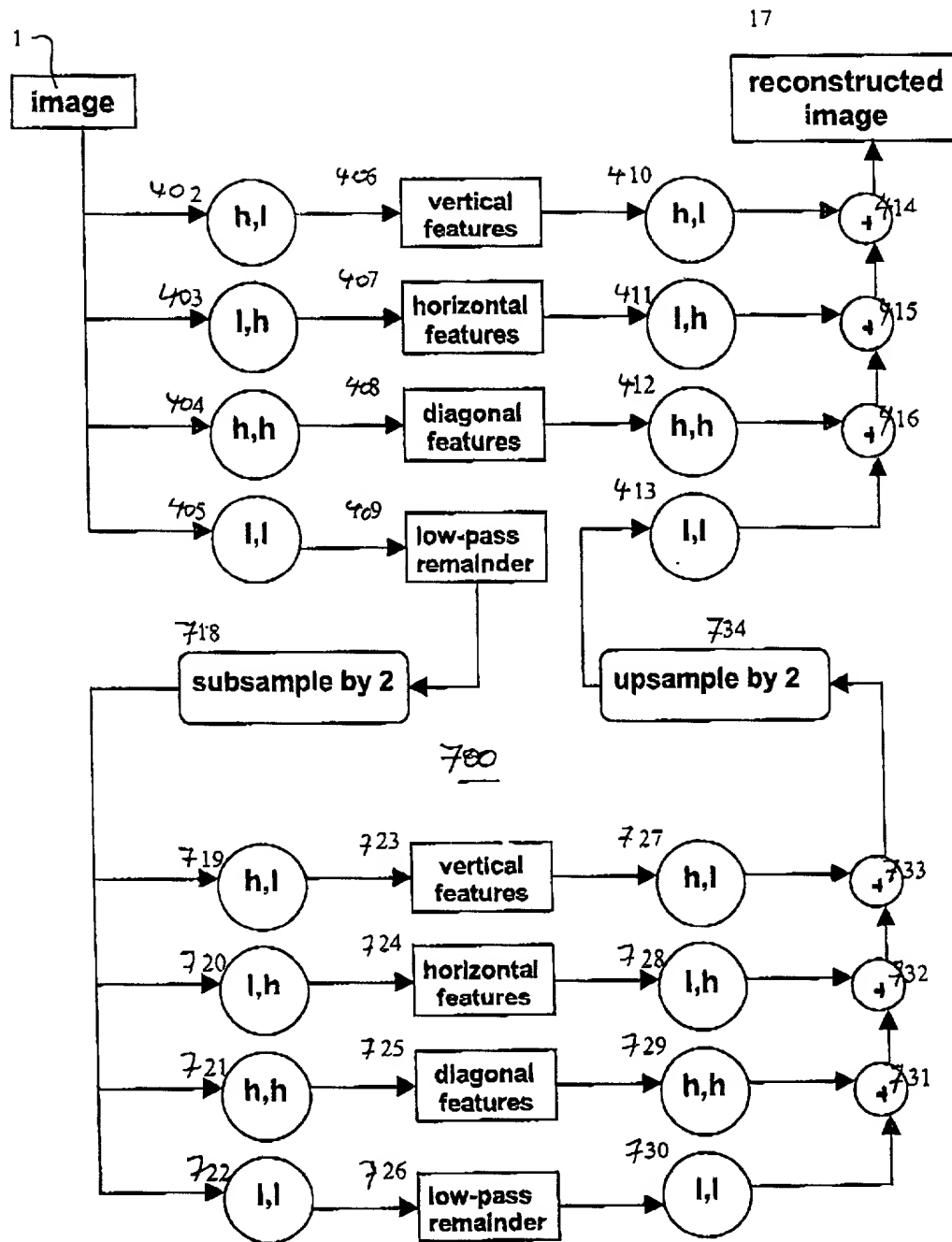
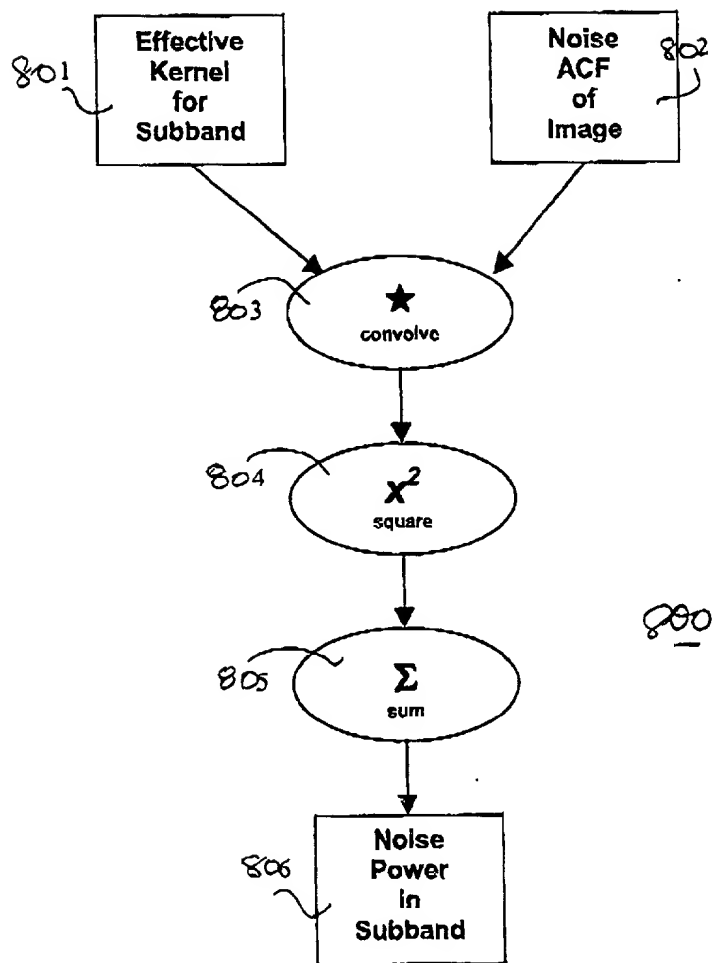


Fig. 7



**Fig. 8**

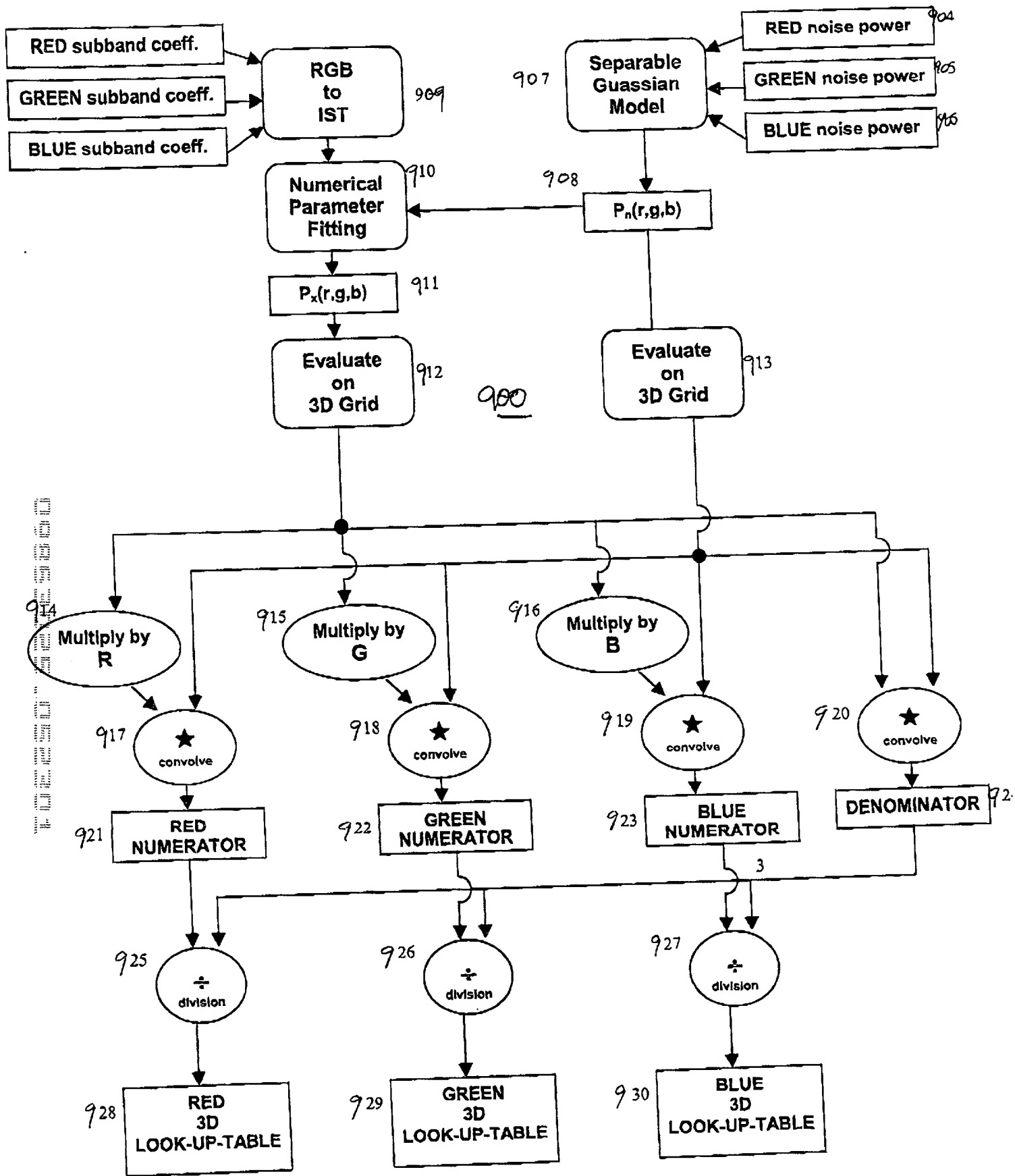


Fig. 9



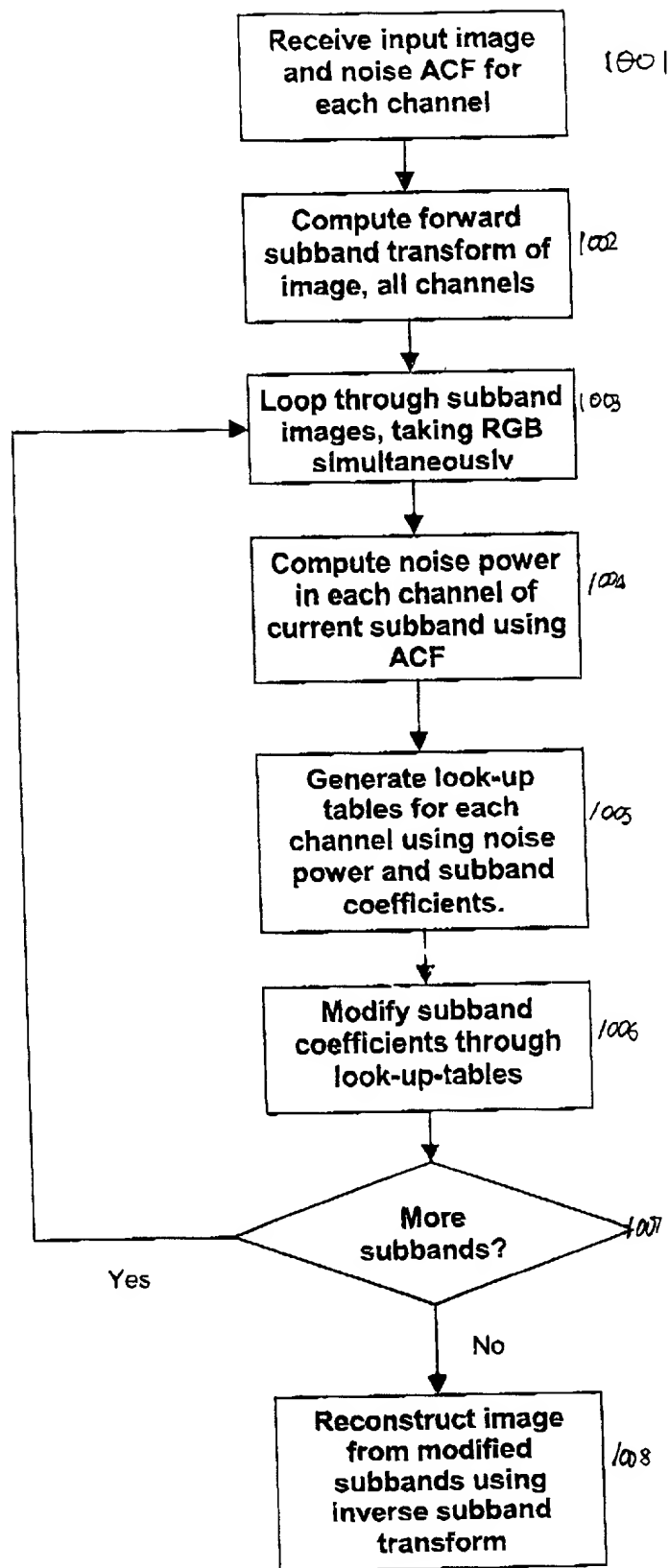


Fig. 10

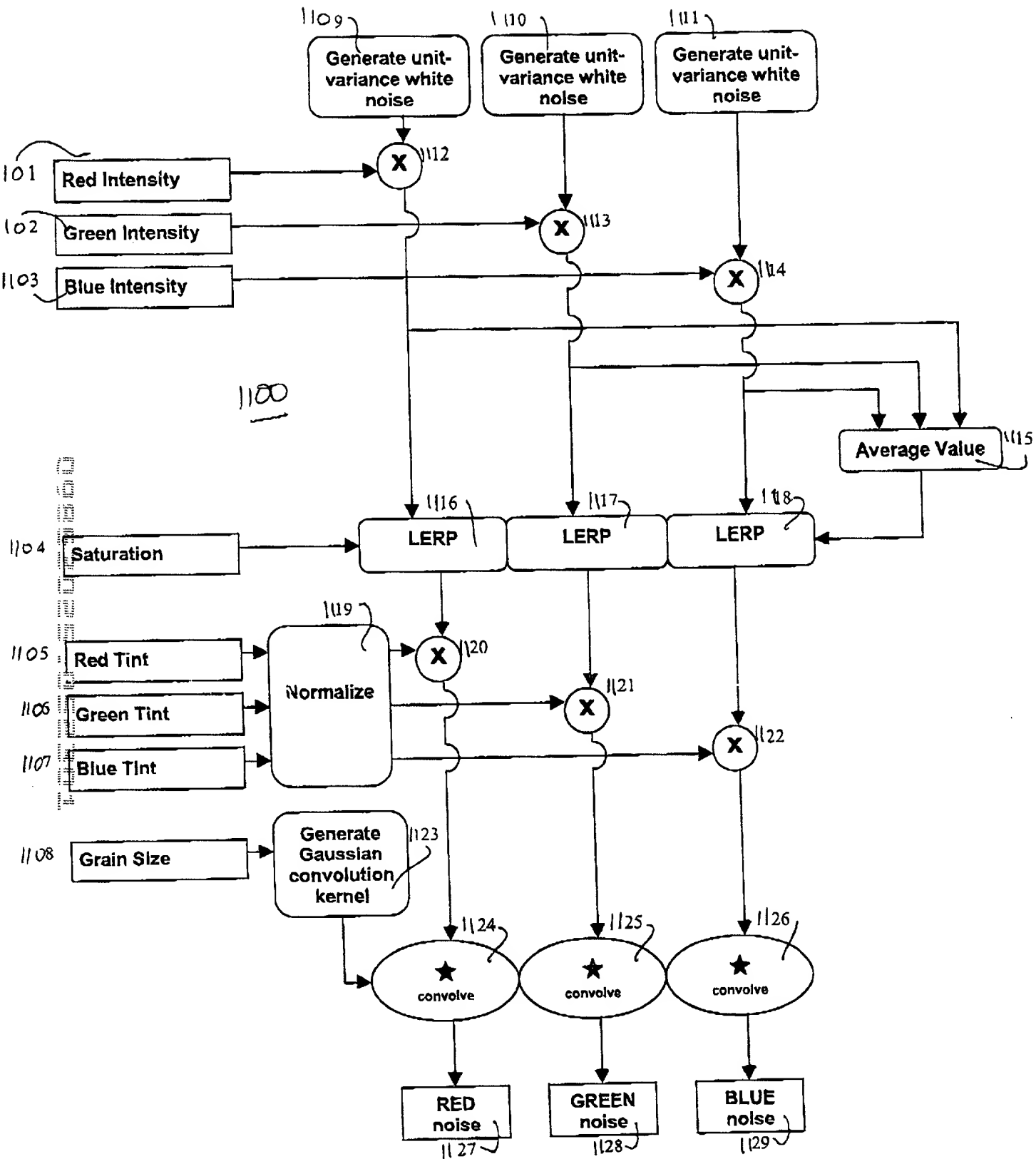


Fig. 11

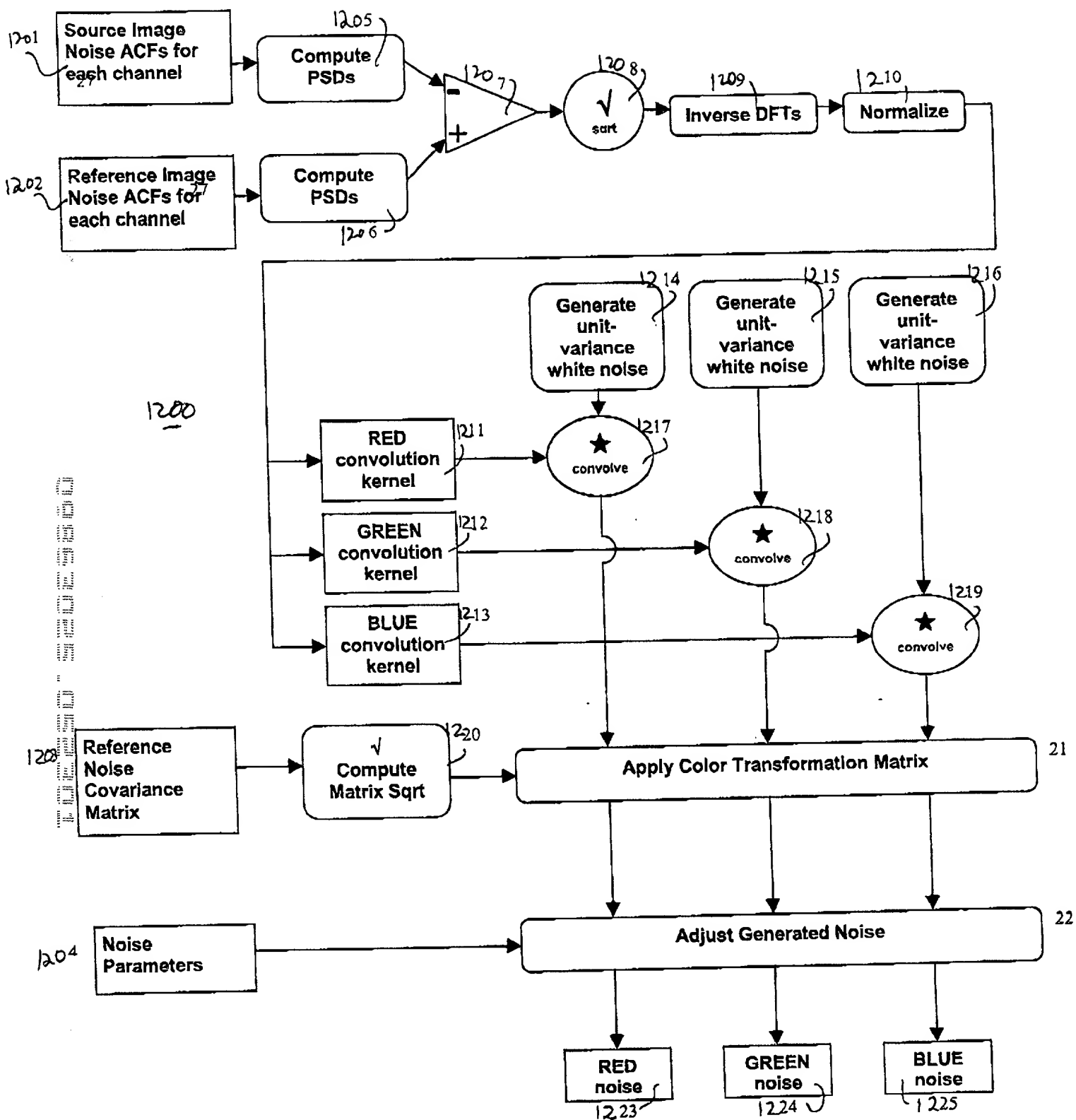


Fig. 12